

FIG. 1

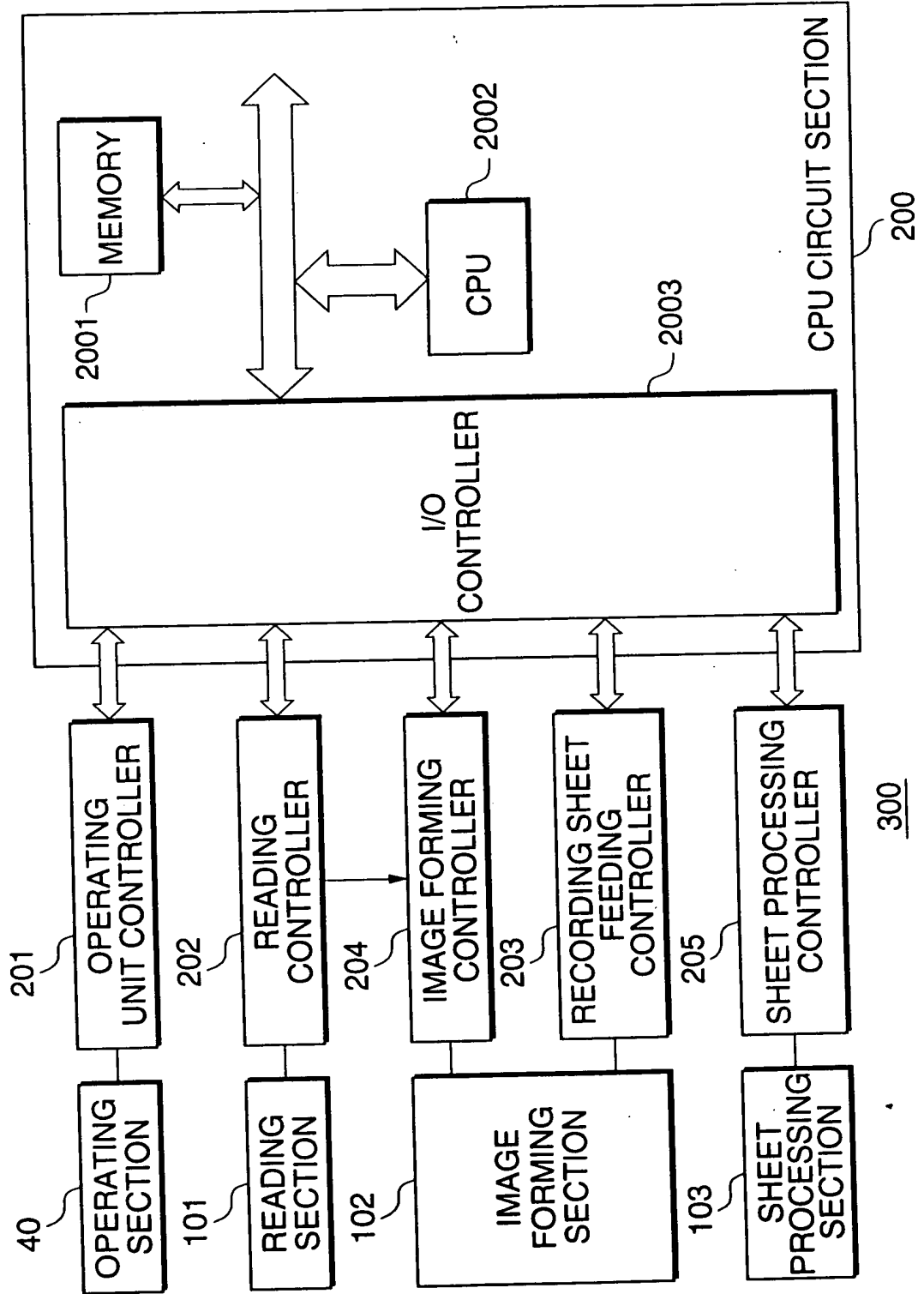


FIG. 2

FIG. 3

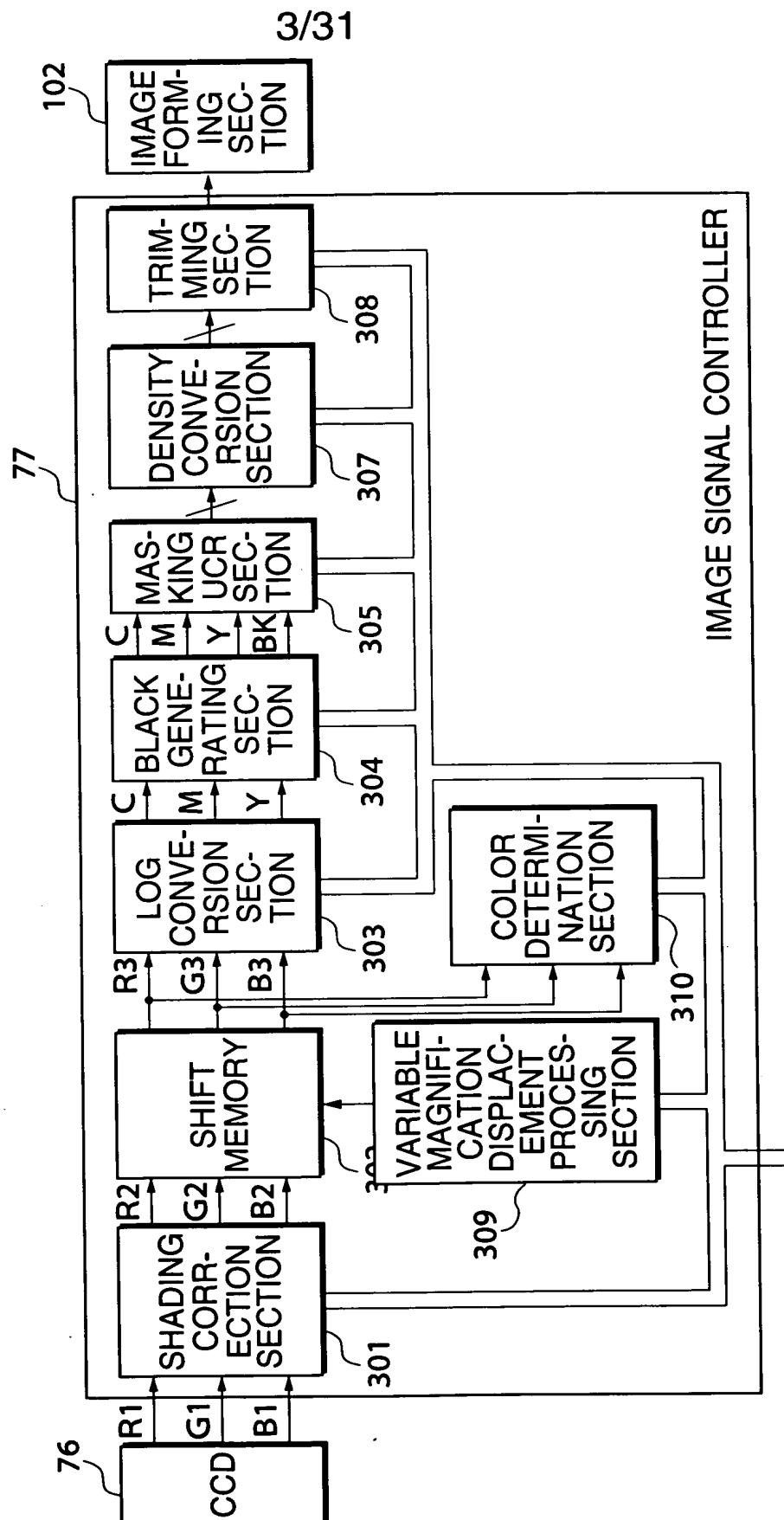


FIG. 5

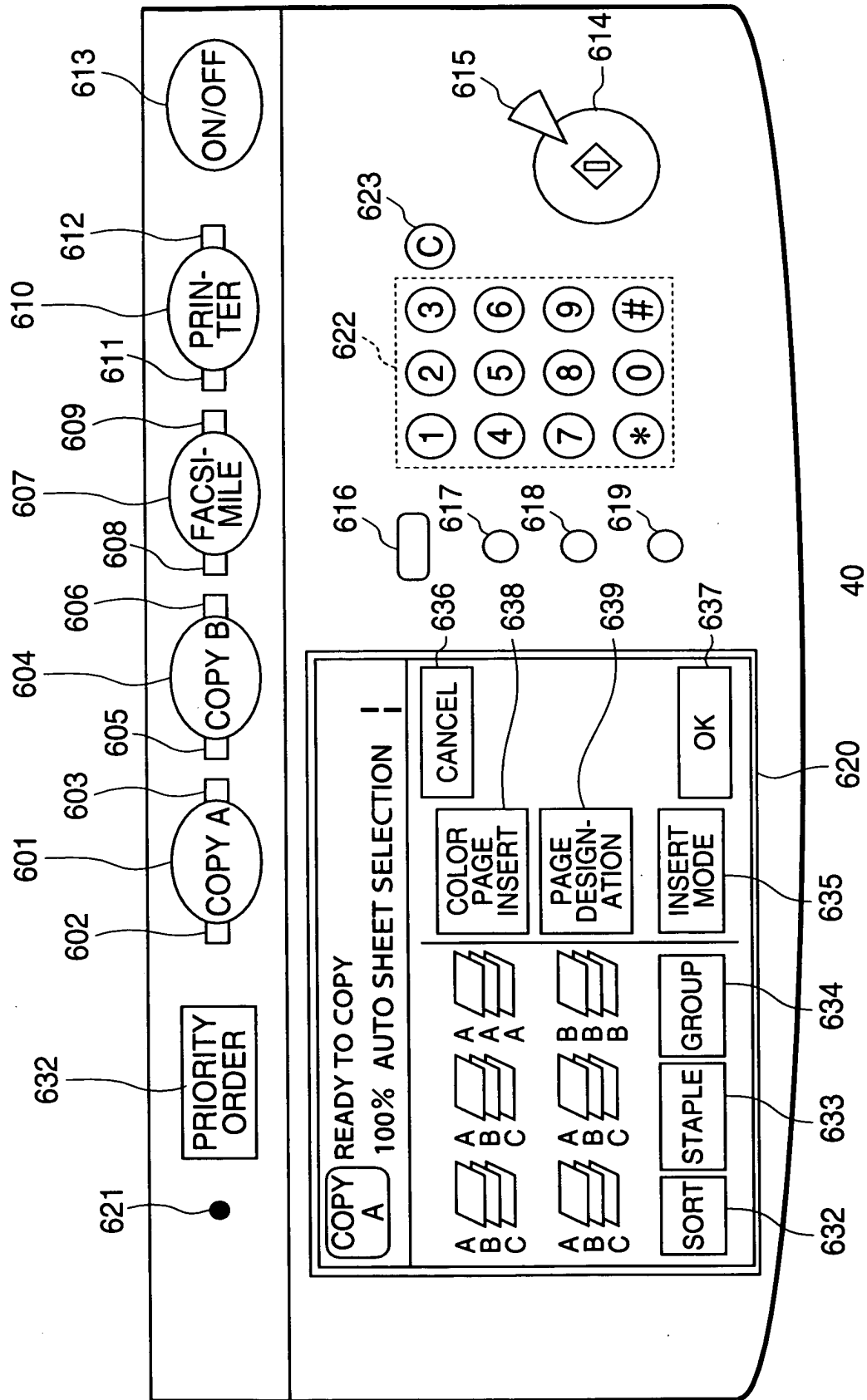


FIG. 6

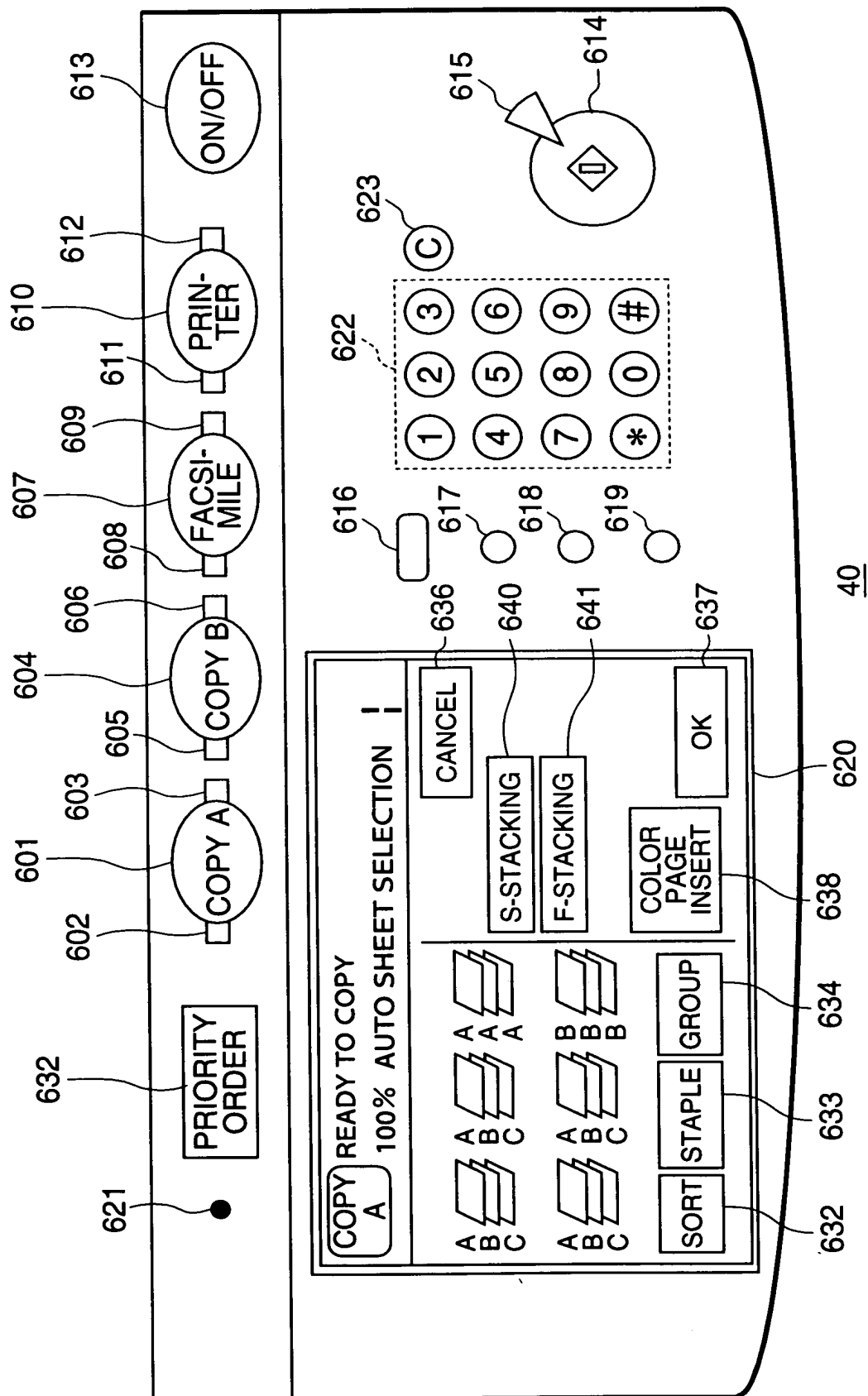


FIG. 7A

S-STACKING MODE

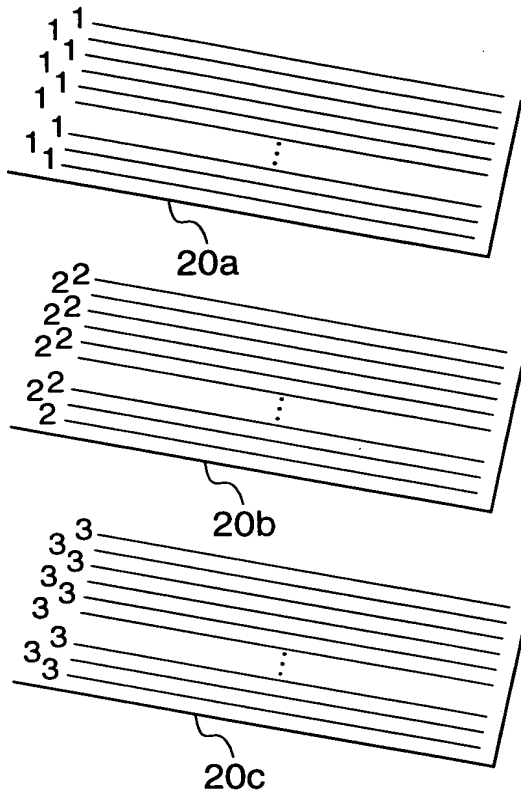


FIG. 7B

F-STACKING MODE

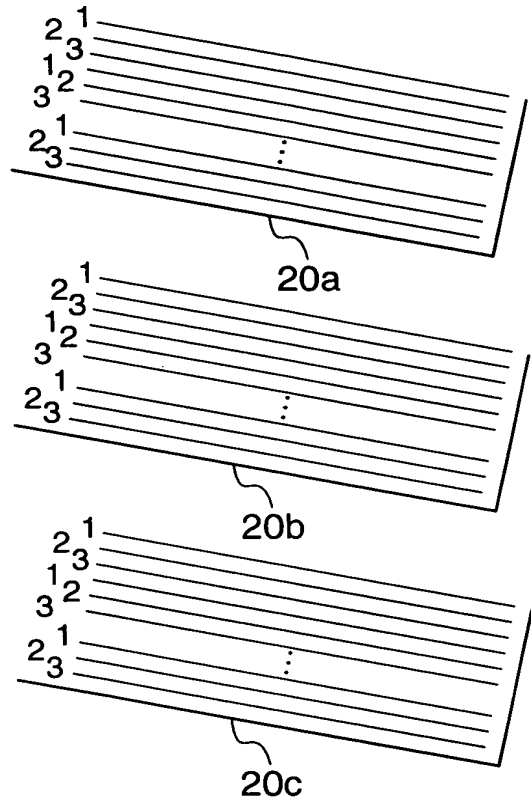
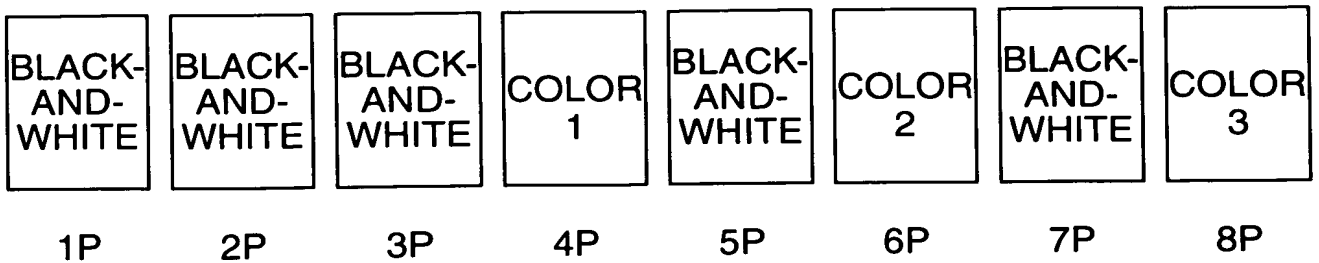


FIG. 7C

ORIGINAL



8/31

FIG. 8

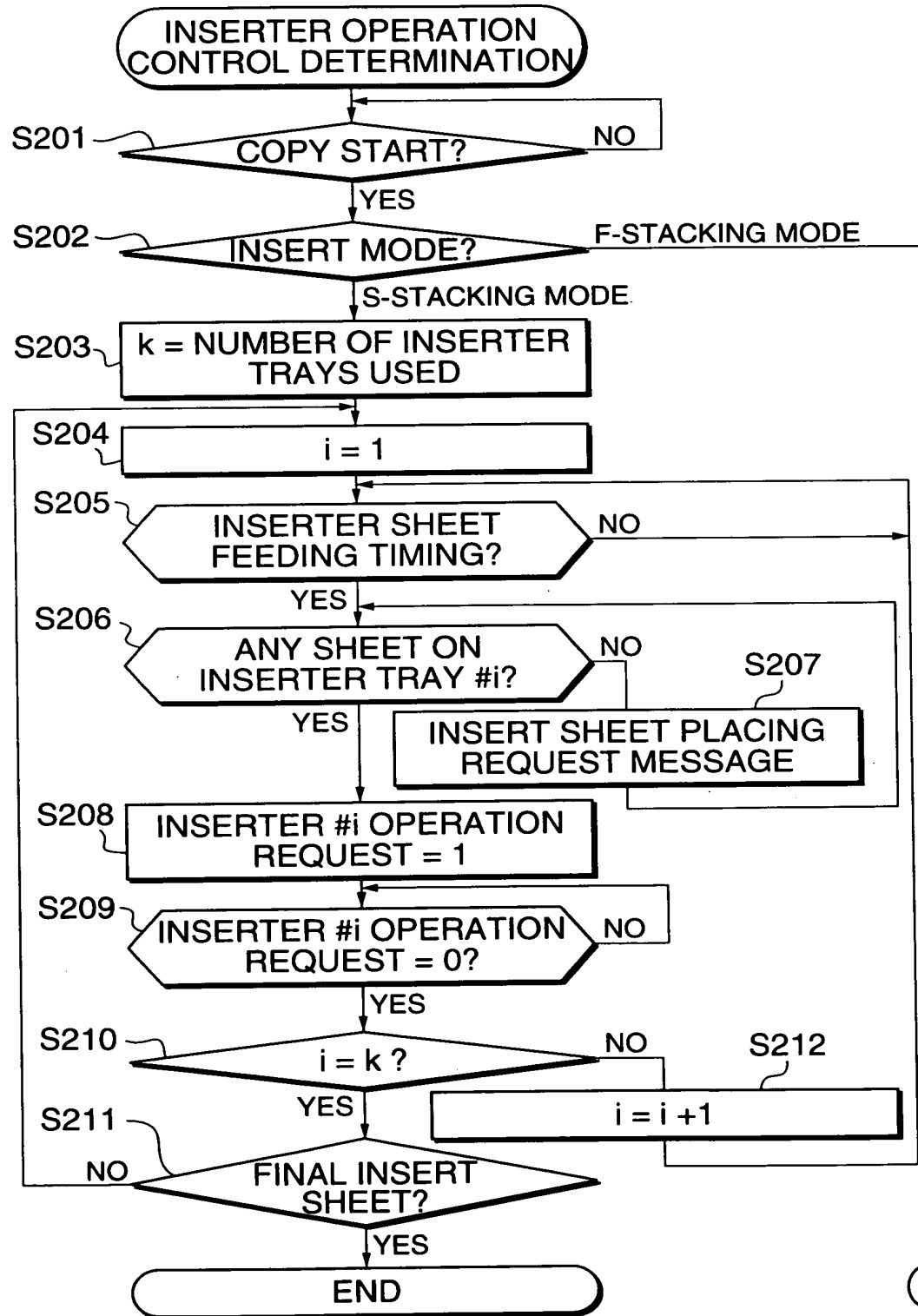
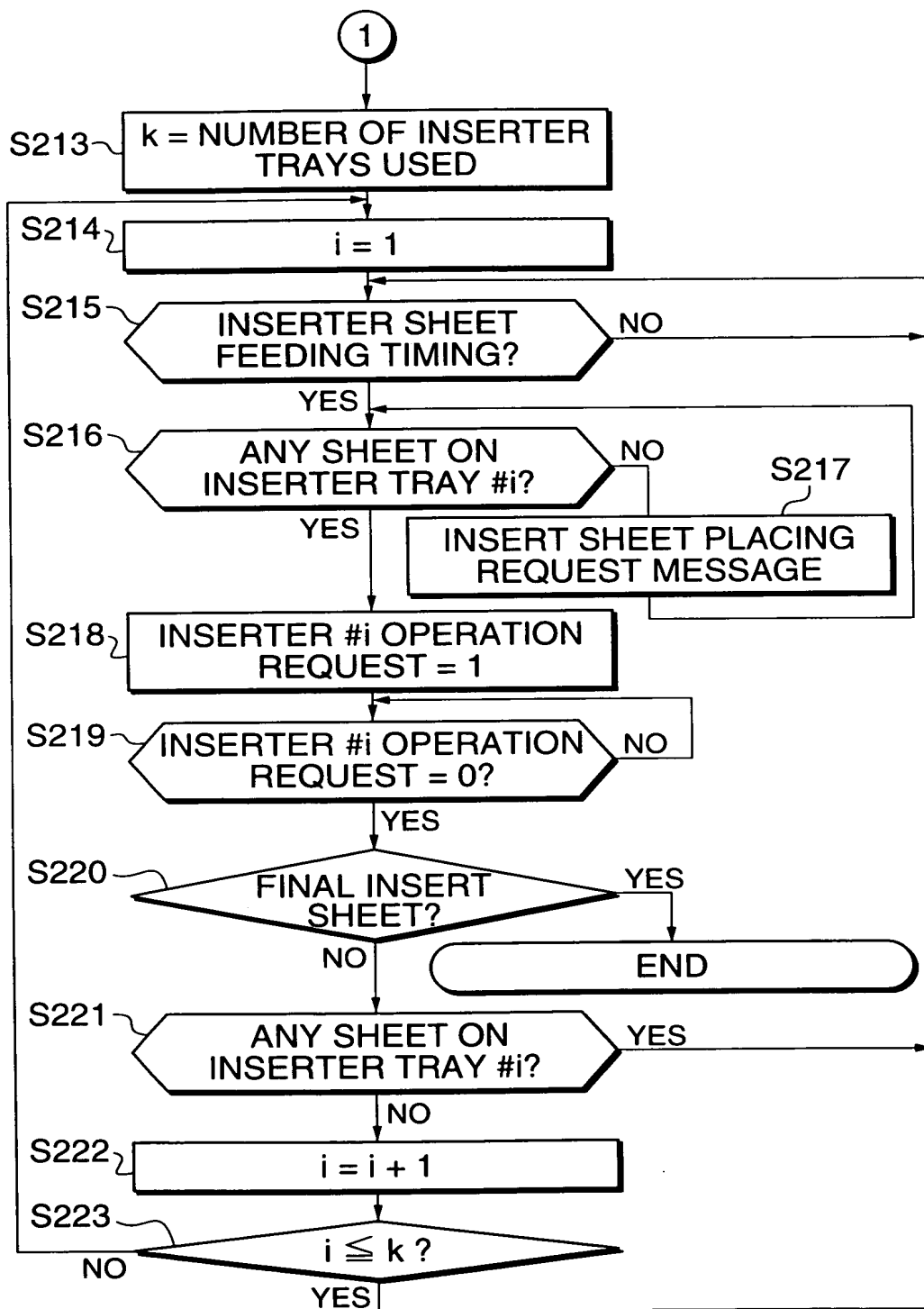
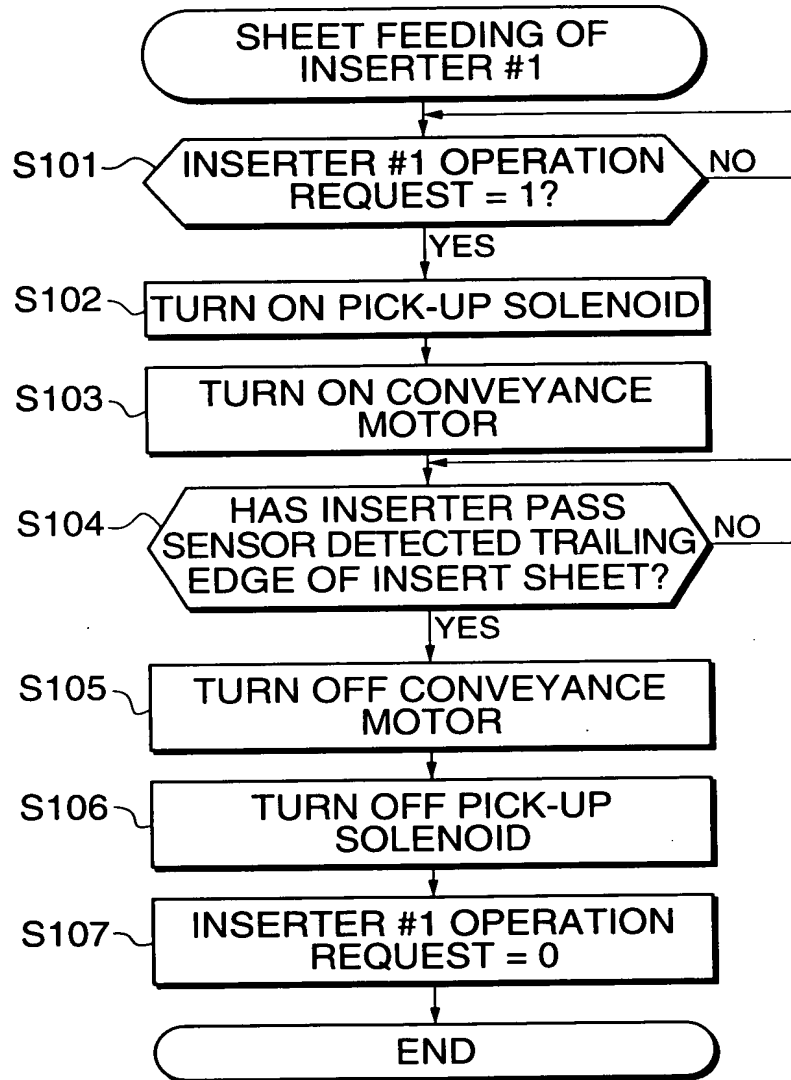
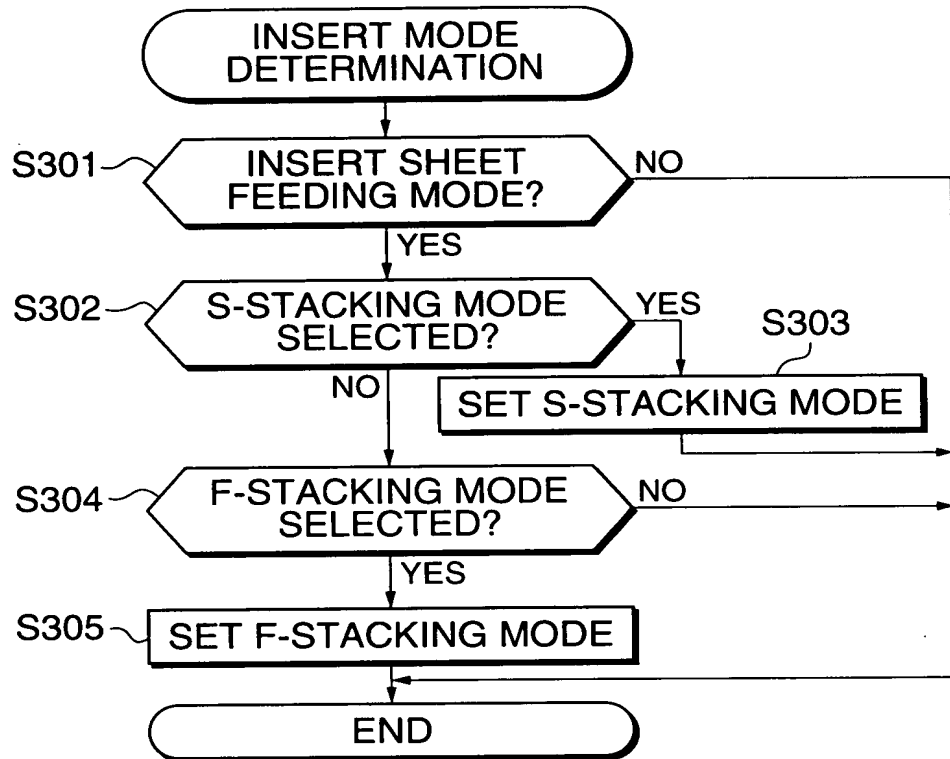


FIG. 9

09737280 121500

FIG. 10

09737280.121500

FIG. 11

09737280-121500

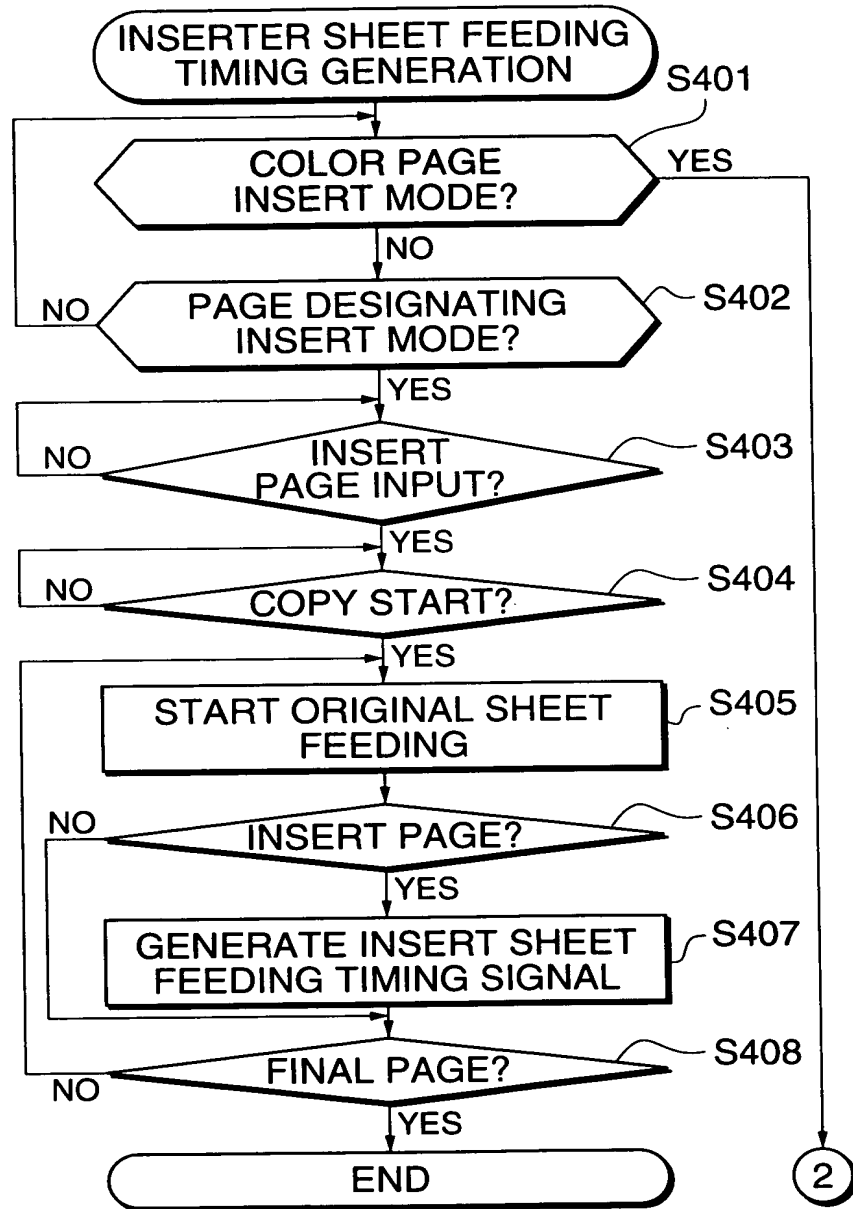
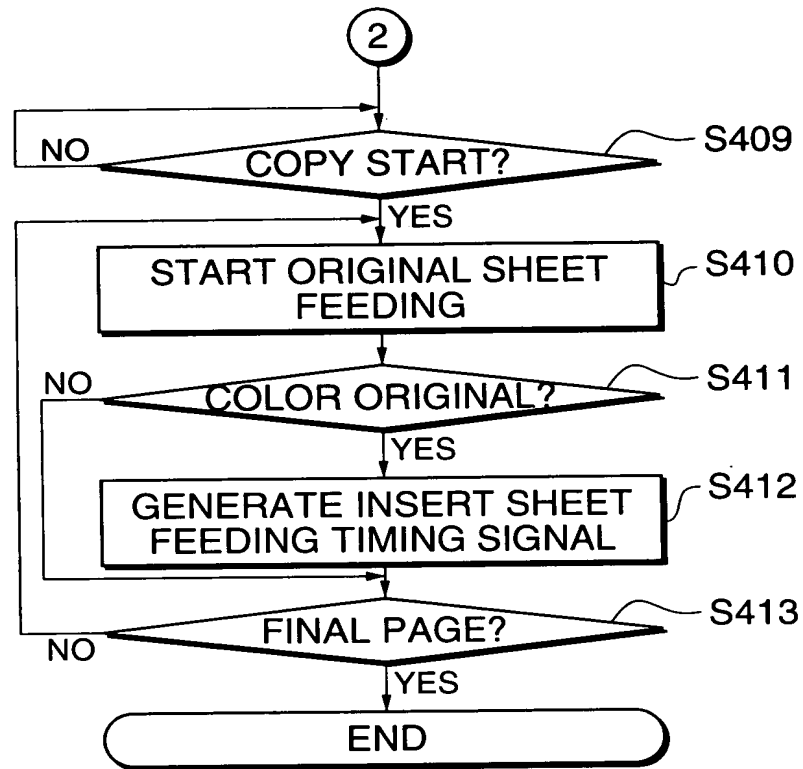
FIG. 12

FIG. 13

09737280-121500

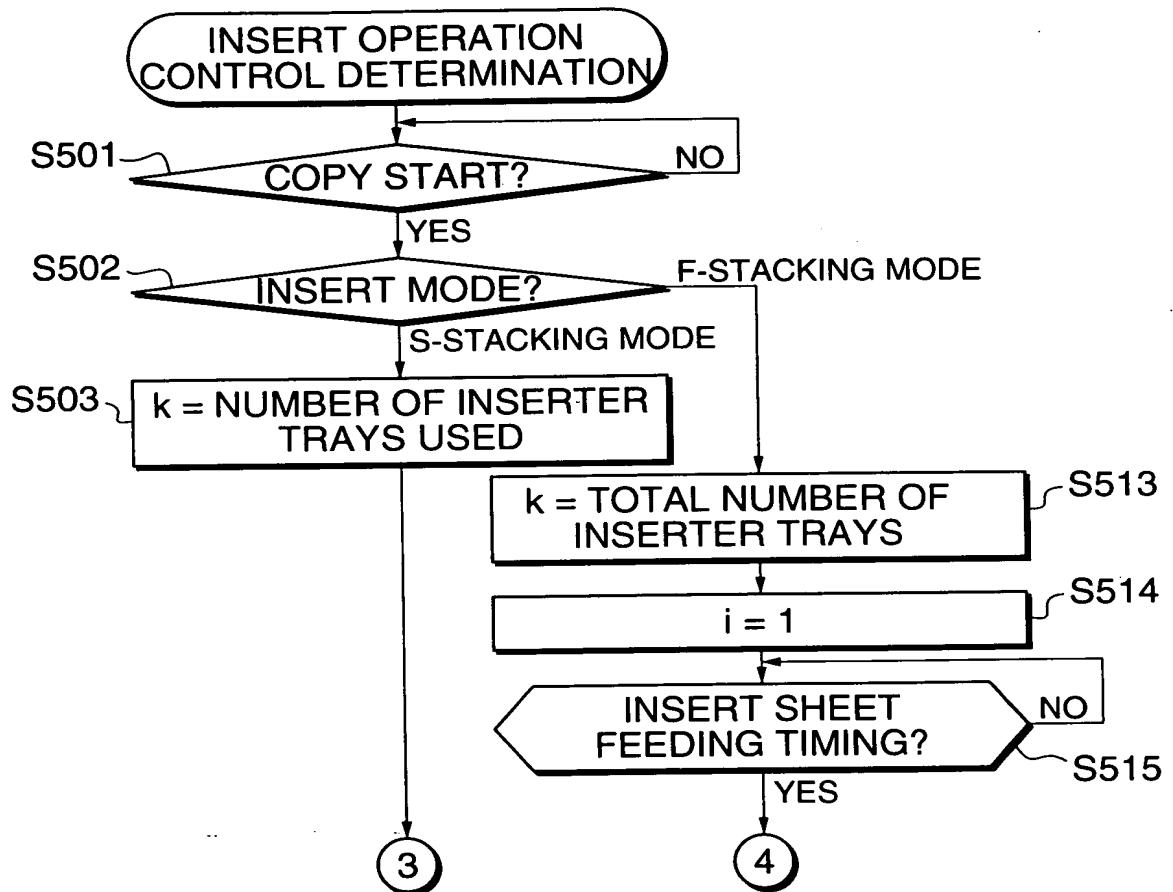
FIG. 14

FIG. 15

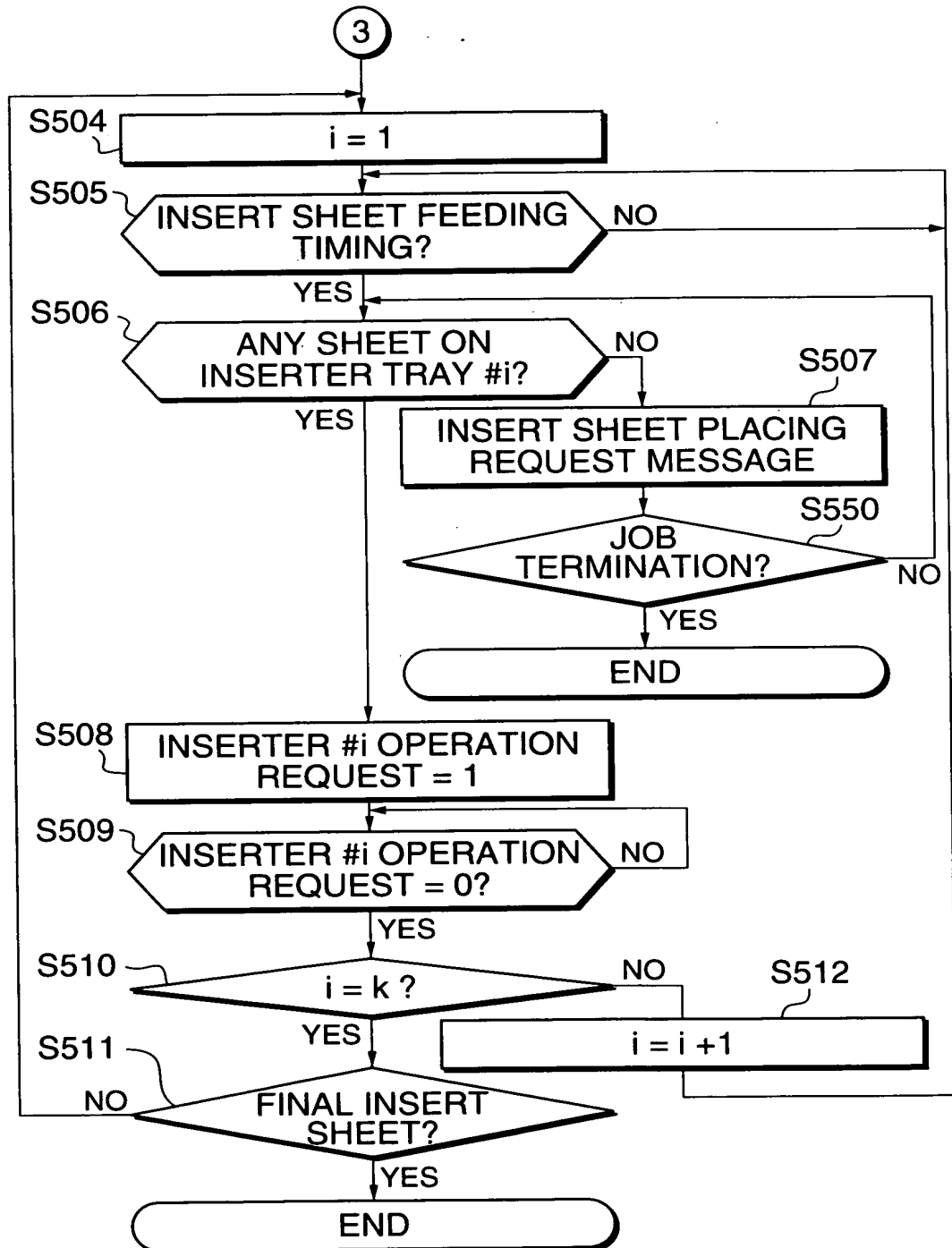


FIG. 16

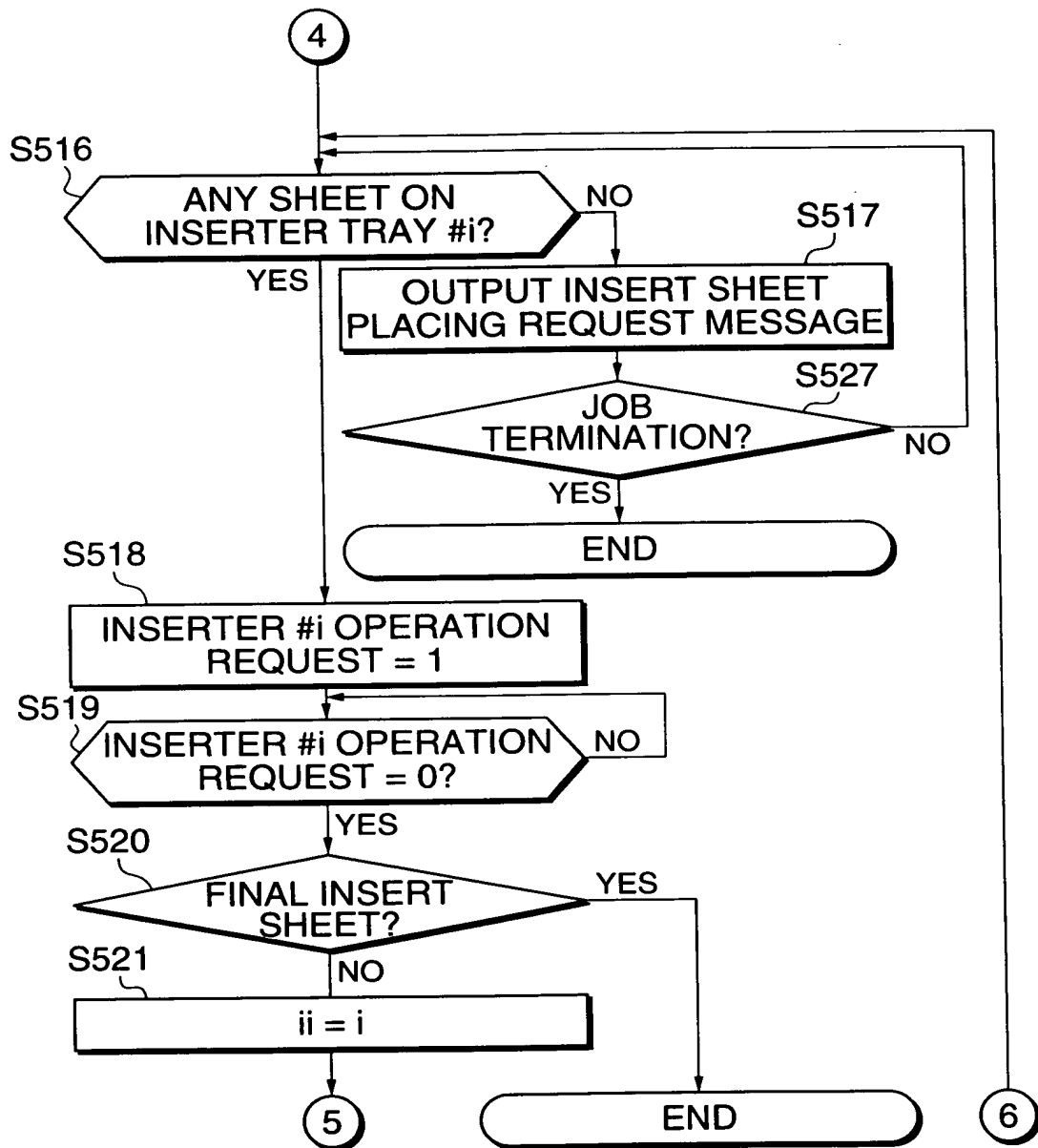


FIG. 17

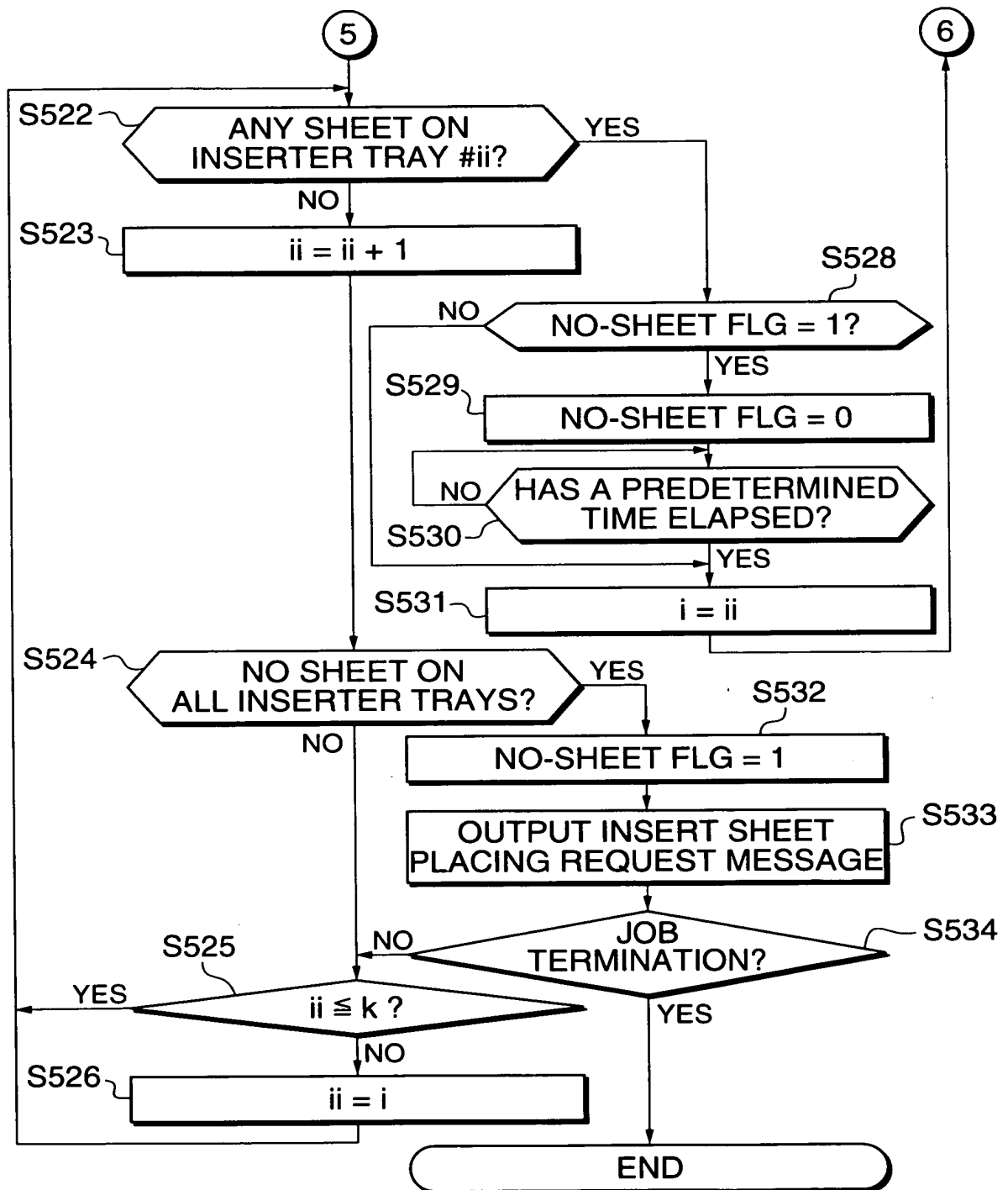


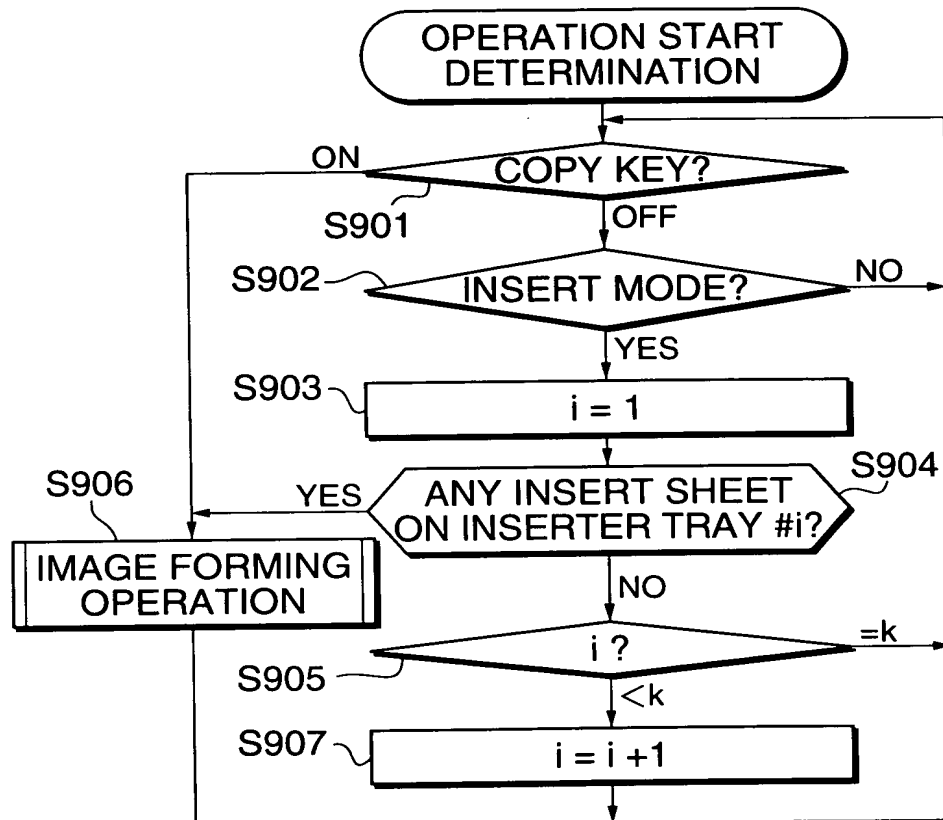
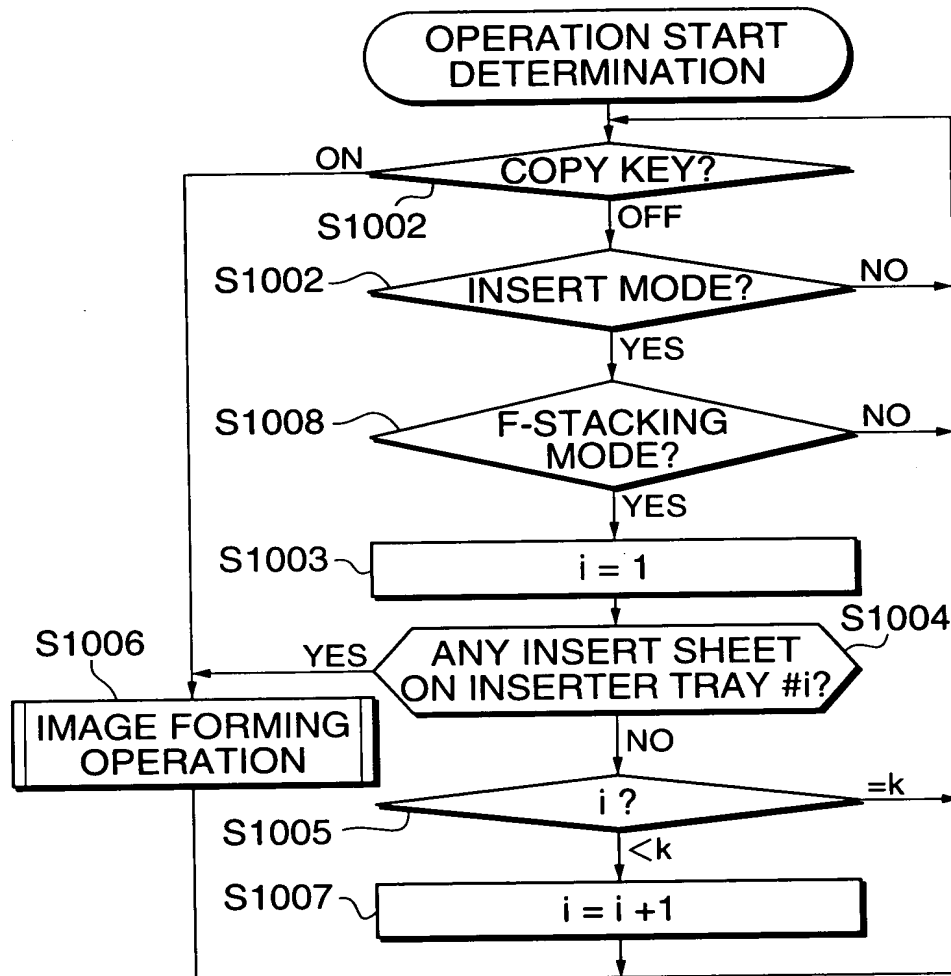
FIG. 18

FIG. 19

09/27/2000 12:15:00

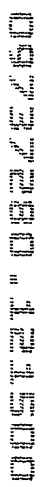


FIG. 21

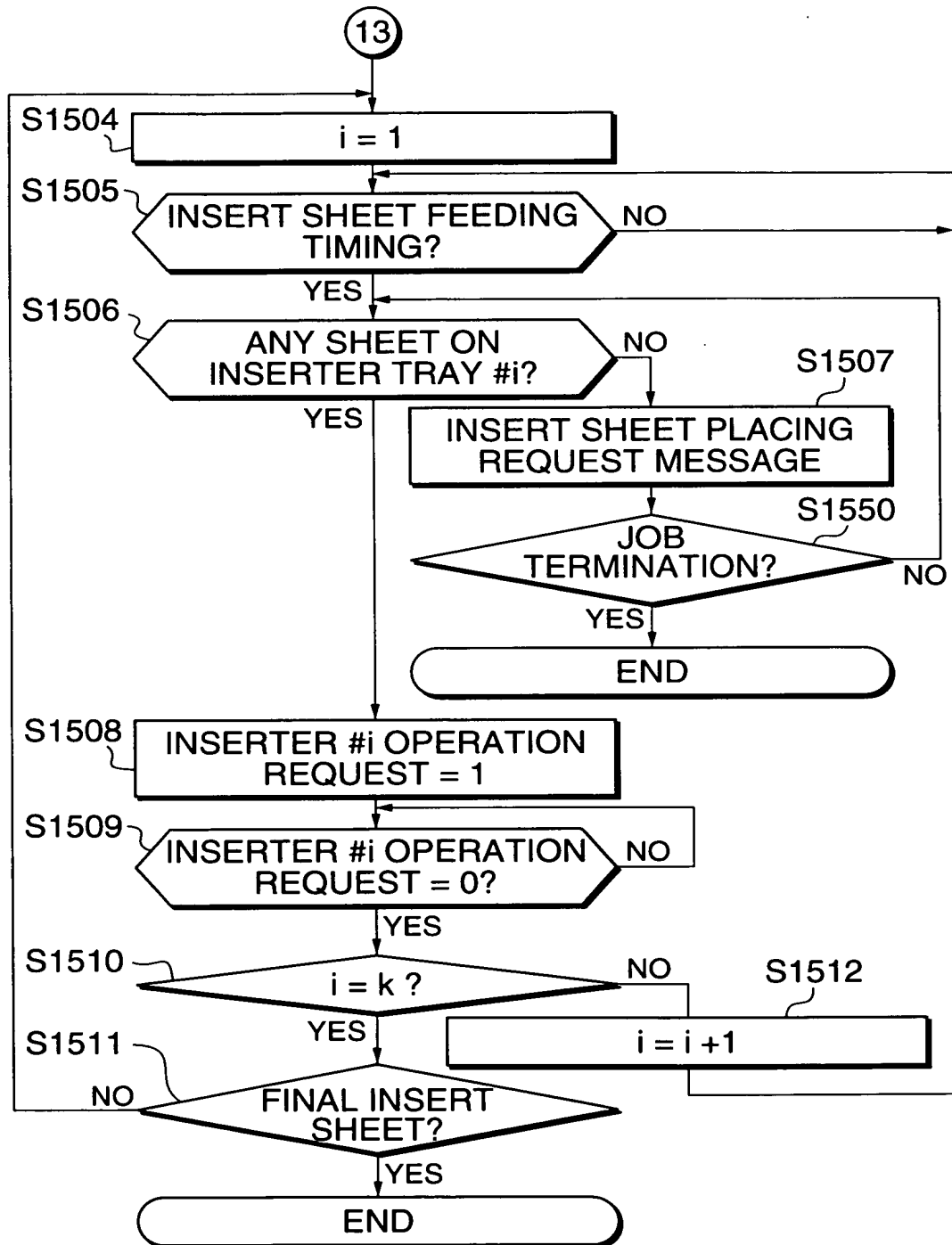


FIG. 22

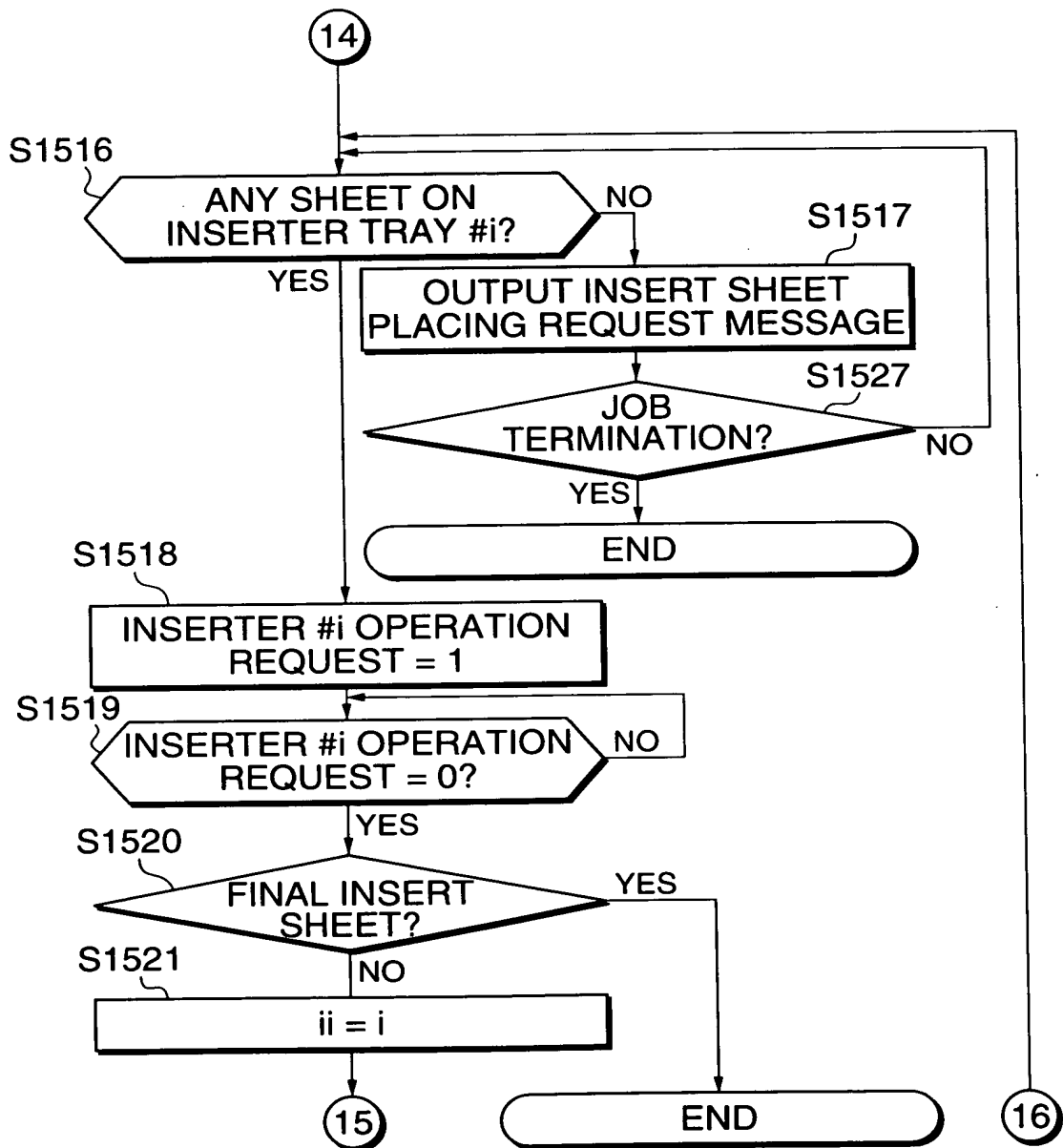
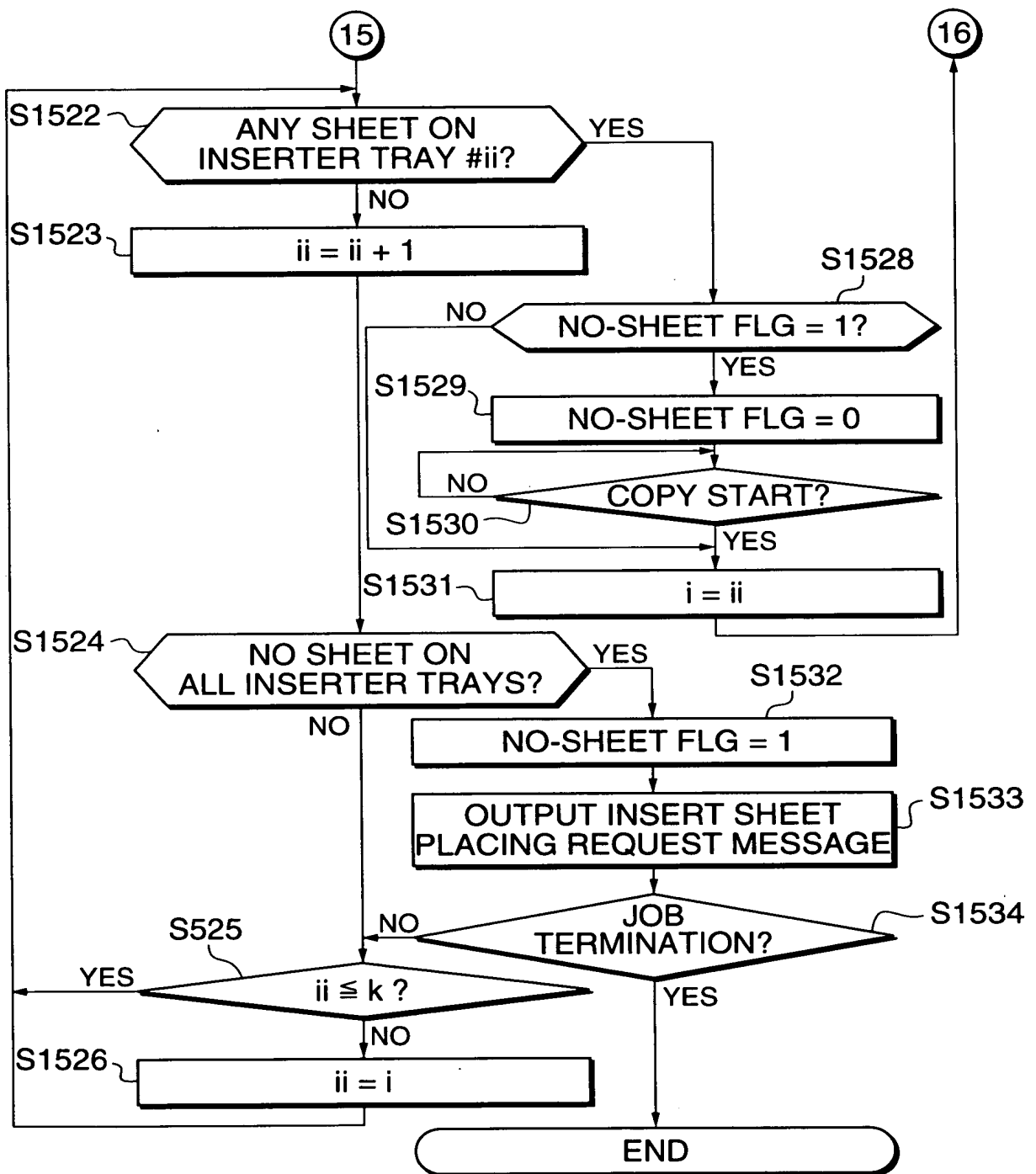


FIG. 23



005121 0824E460

FIG. 24

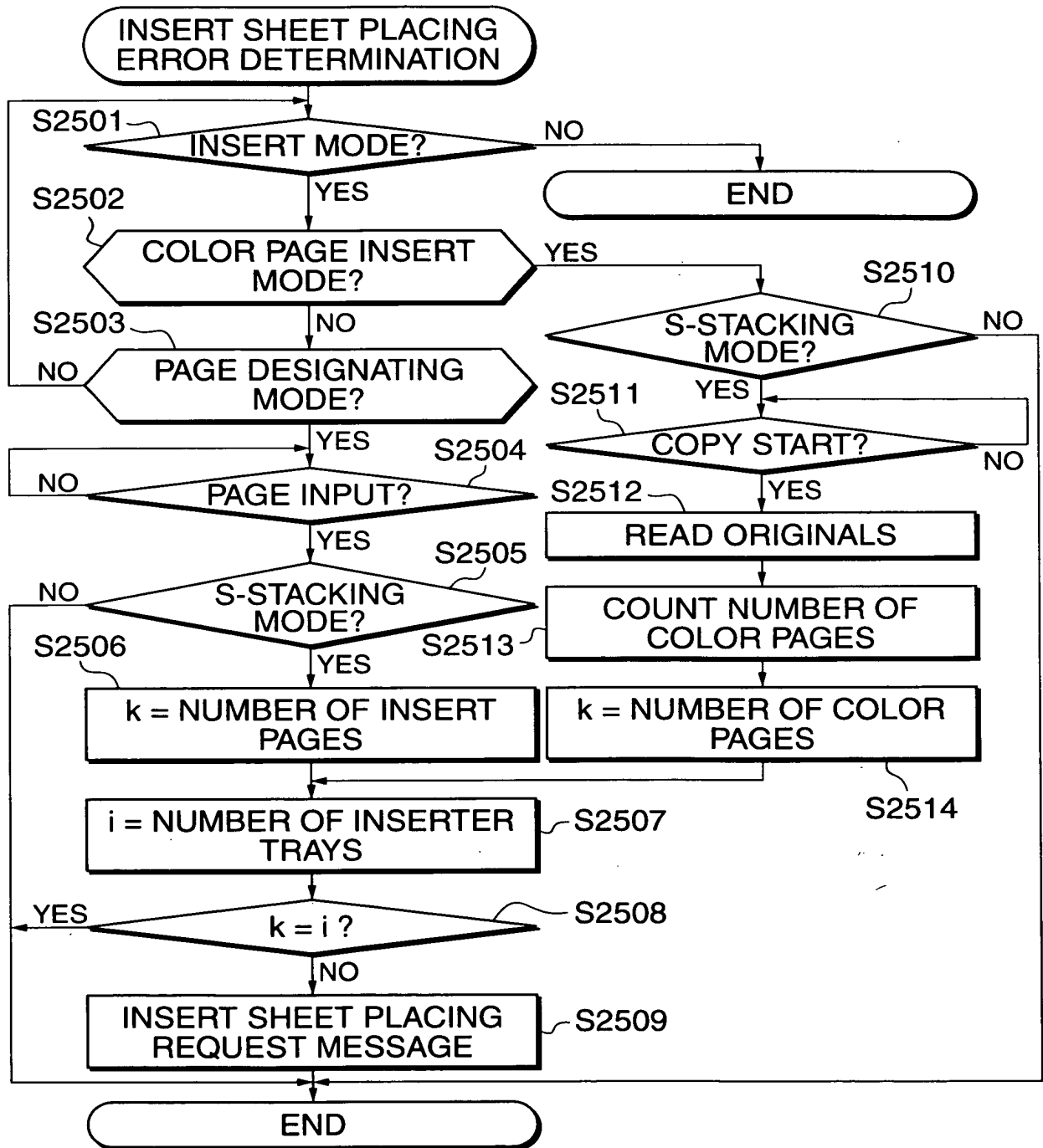


FIG. 25

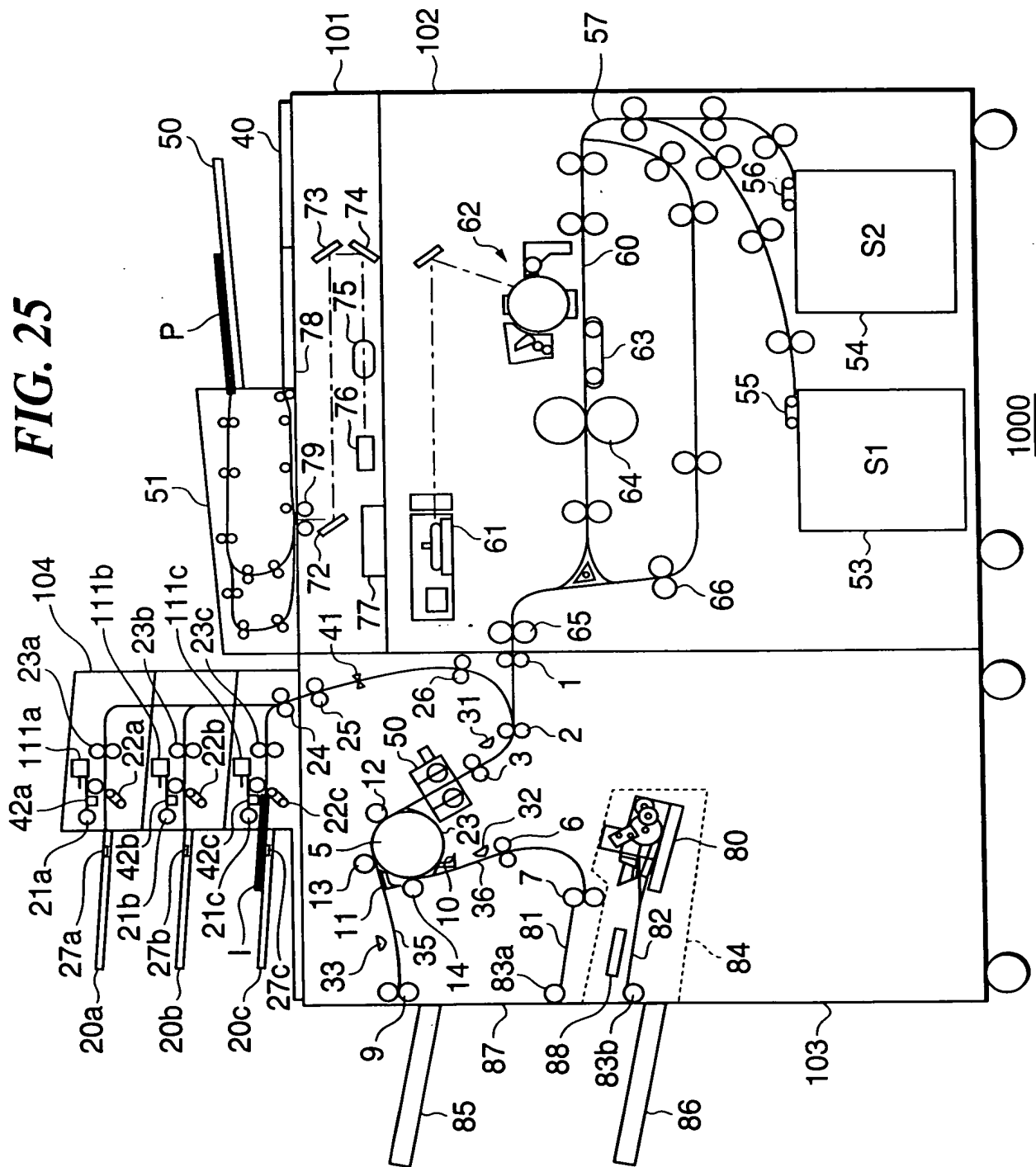
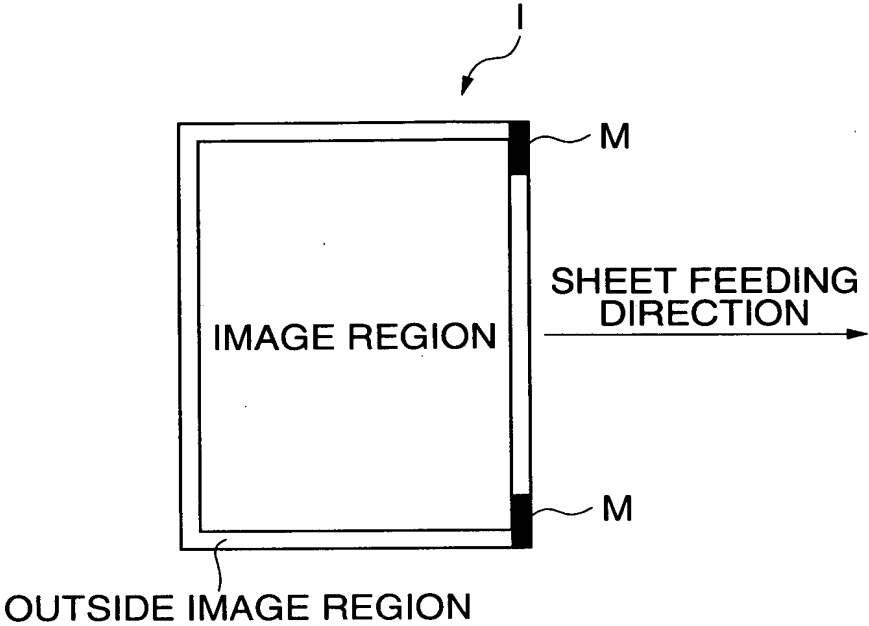
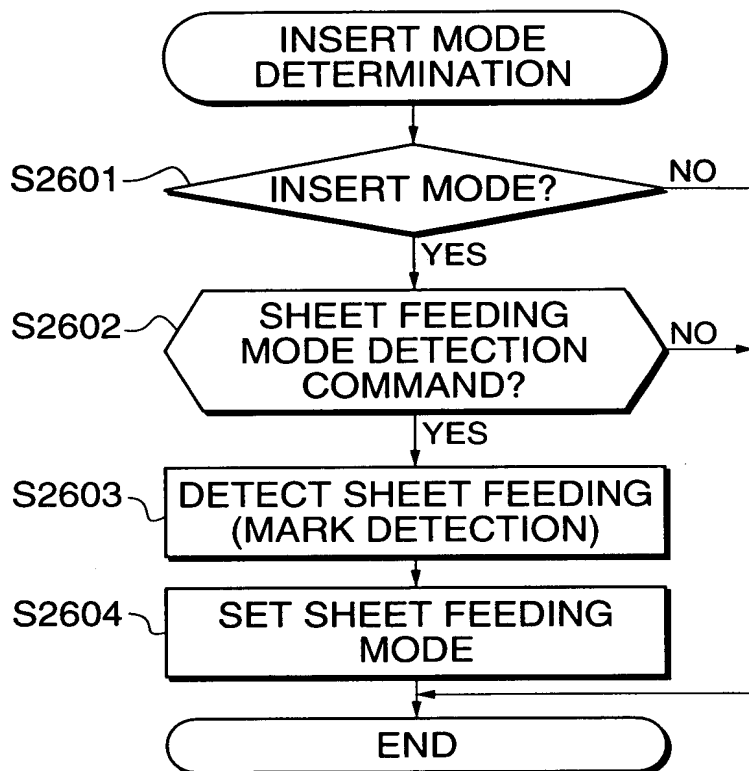


FIG. 26



005121-0827E/60

FIG. 27

09737280-121500

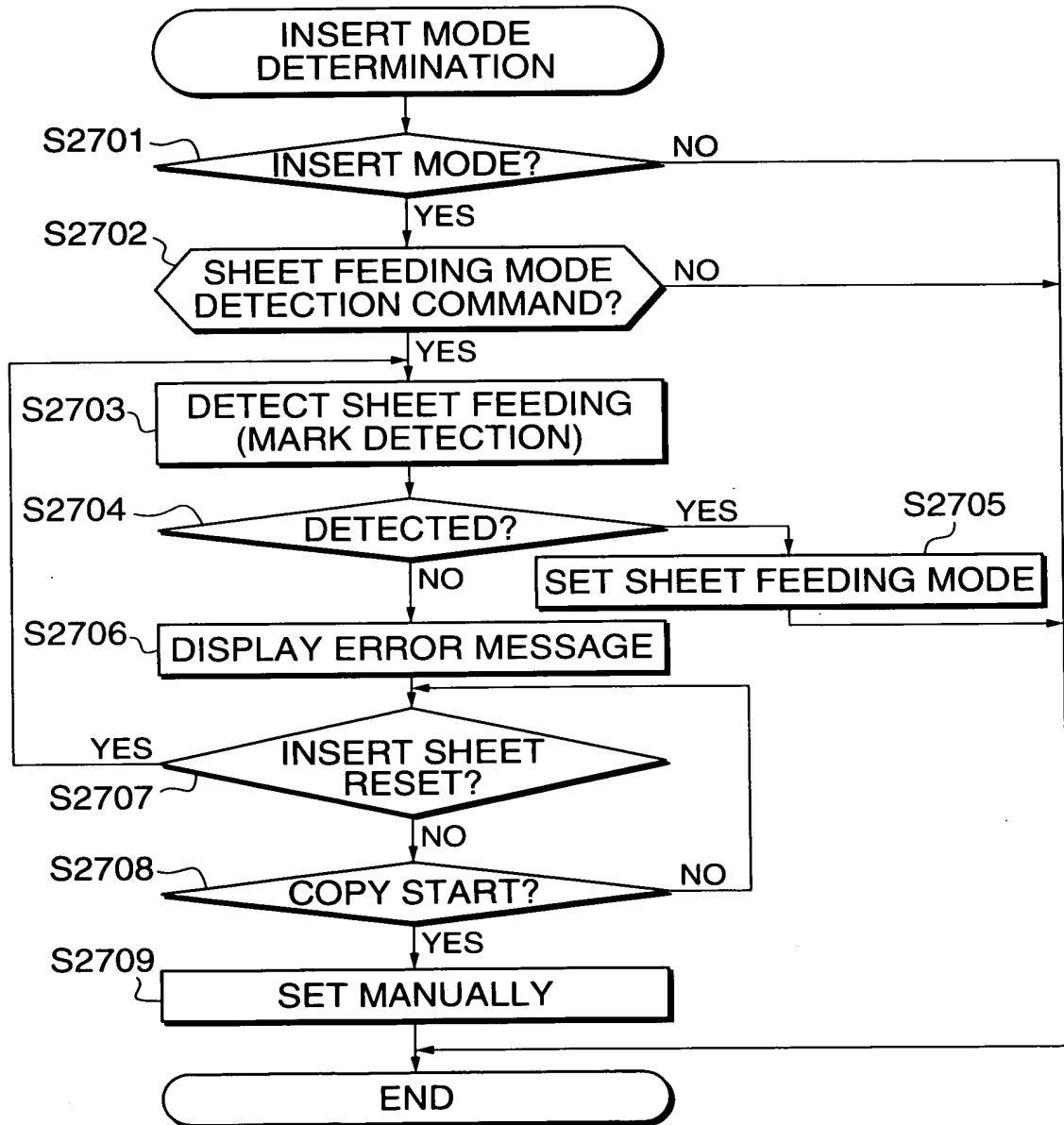
FIG. 28

FIG. 29

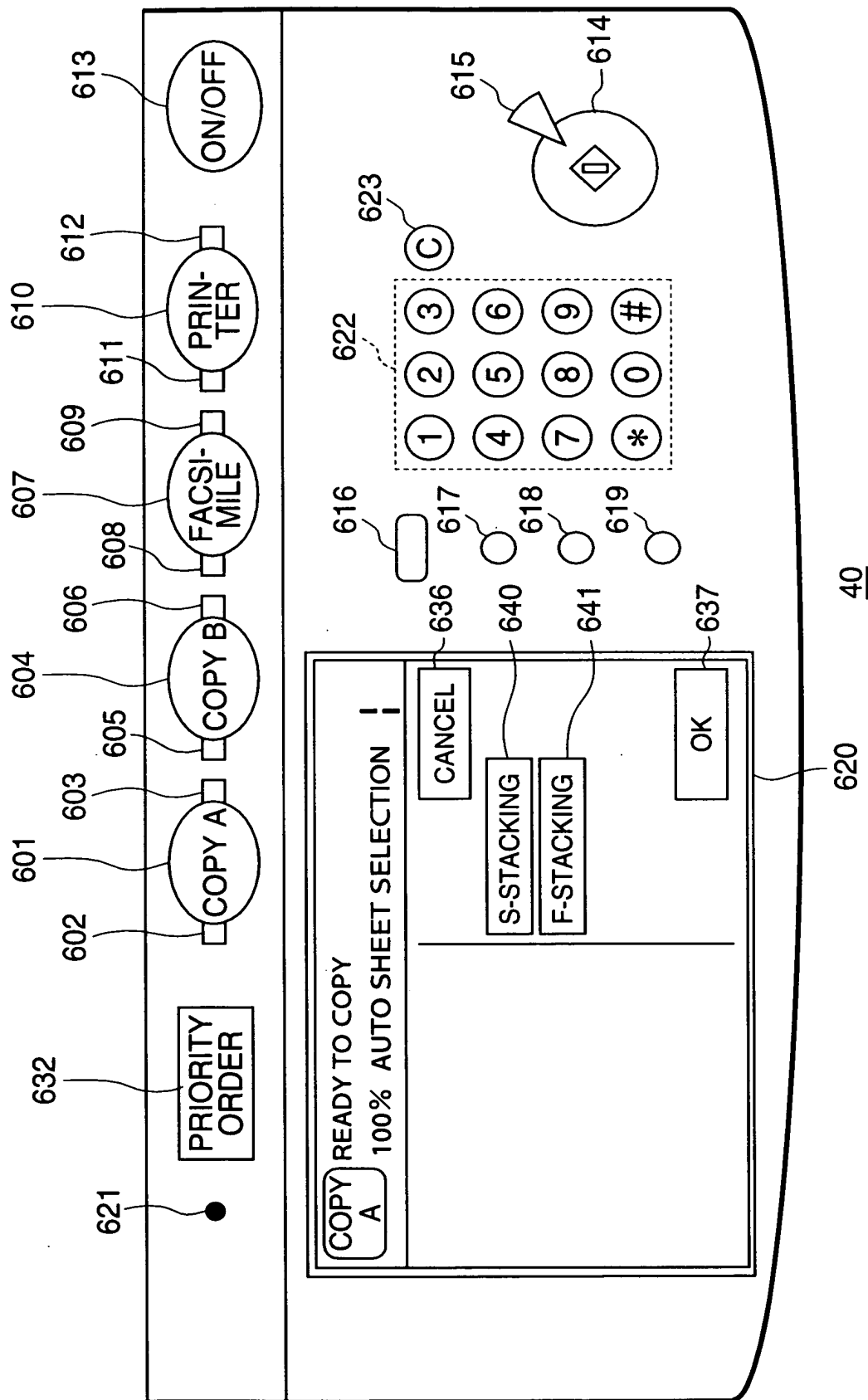
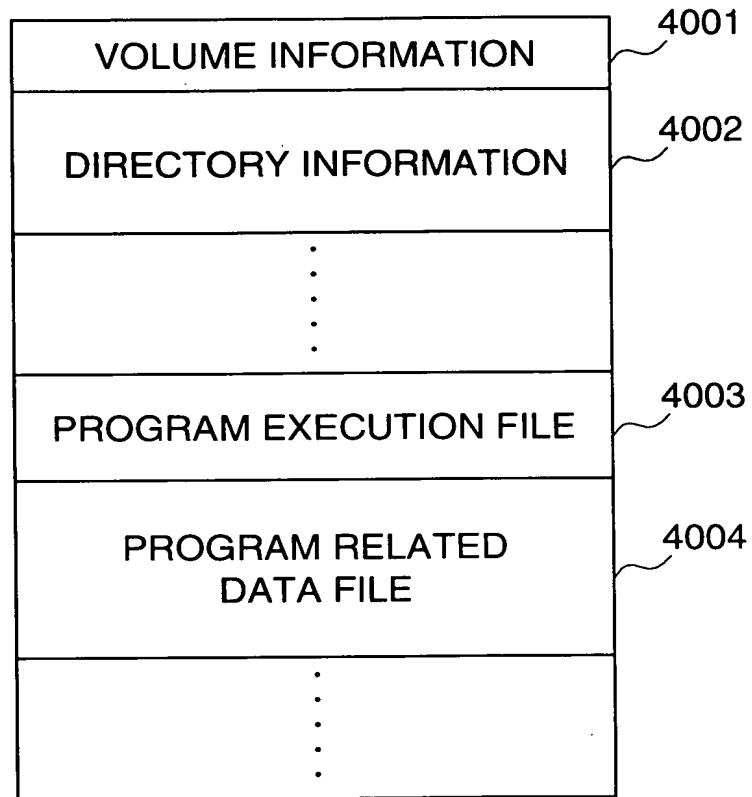
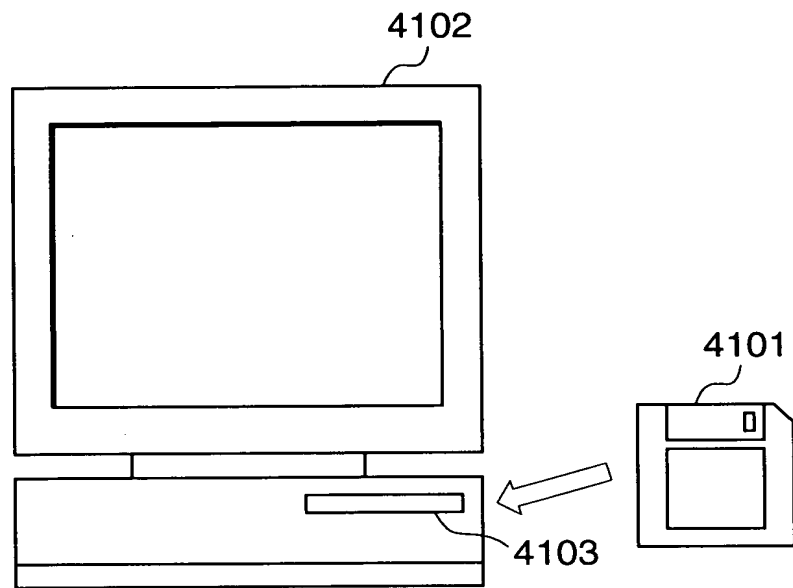


FIG. 30



005121" 0822/E/60

FIG. 31



005121 0822260